

## О ВЛИЯНИИ ДЕФЕКТОВ НА ТЕМПЕРАТУРНОЕ ПОВЕДЕНИЕ ЭЛЕКТРОМЕХАНИЧЕСКИХ КОЭФФИЦИЕНТОВ В КРИСТАЛЛАХ С ФАЗОВЫМ ПЕРЕХОДОМ

© Н.В.Шедрина, М.И.Шедрин

Институт инженеров водного транспорта,  
603600 Нижний Новгород, Россия  
(Поступила в Редакцию 28 марта 1995 г.  
В окончательной редакции 15 ноября 1995 г.)

Вычислены вклады от дефектов в температурное поведение электромеханических коэффициентов для температур в окрестности точки перехода. Рассмотрены структурные, заряженные и упругие дефекты. Найдено большое число температурных аномалий с разными показателями сингулярности по  $\tau = T/T_c - 1$ . Для точечных дефектов наибольшая аномалия стрикционного коэффициента  $g \sim \tau^{-3/2}$ , пьезоконстанты  $d \sim \tau^{-1}$ . В случае протяженных дефектов аномалии резко возрастают. Подчеркивается особая роль линейного взаимодействия критических степеней свободы с некритическими, когда возникает конкуренция между эффектом «гашения» критических флуктуаций и увеличением числа самих критических степеней свободы. При этом особенно существенным становится учет анизотропии тех нелинейных взаимодействий, которые определяют механизмы рассеяния флуктуаций на дефектах.

1. В работе [1] было показано, что вблизи точек структурных фазовых переходов (ФП) даже в идеальных кристаллах многие практически важные параметры, такие как электромеханические коэффициенты (ЭК) (стрикционные константы различных порядков, пьезоконстанты), нелинейные восприимчивости, упругие модули различных порядков, могут иметь заметную температурную зависимость. Присутствие дефектов в кристалле может быть причиной усиления этой зависимости [2,3]. В примесной задаче особый интерес представляет ситуация в гетерогенной системе с каплями другой фазы, которые образуются в окрестности ядра дефекта, взаимодействующего с параметром перехода  $\eta$  (ПП), поскольку в этом случае температурные аномалии (ТА) могут возрастать как за счет рассеяния, так и из-за роста размера капель при  $T \rightarrow T_c$ .

2. Как и в [1], интересующие нас амплитуды рассеяния (дающие как частный случай величины нелинейных коэффициентов) представляются на диаграммном языке вершинными частями различных порядков. Дополнение при наличии дефектов заключается во введении в диаграммы величин  $\eta_0(\mathbf{r})$ , смещений упругой среды  $u_0(\mathbf{r})$  и усреднении по

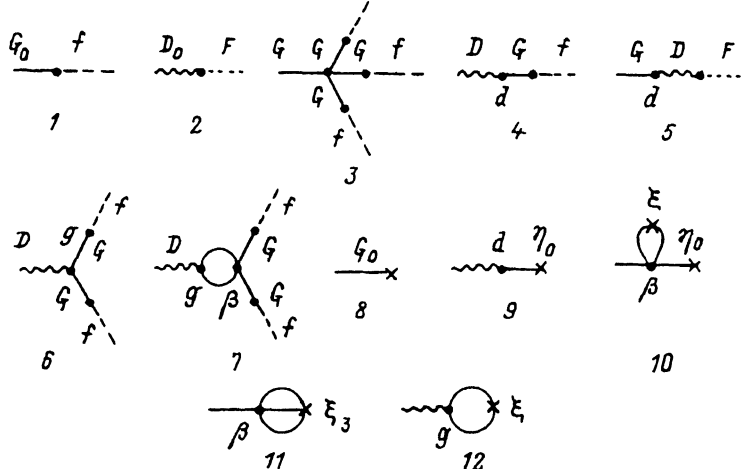


Рис. 1. Диаграммное представление  $\eta_0(\mathbf{r})$  и  $u_0(\mathbf{r})$ , а также  $\eta_0$  и  $u_0$ .

пространственному распределению и другим характеристикам дефектов. Эти величины представляются «однохвостками» и после полного усреднения уже не зависят от координат (при однородном распределении дефектов),  $\eta_0 = \langle \overline{\eta(\mathbf{r})} \rangle$ ,  $u_0 = \langle \overline{u(\mathbf{r})} \rangle$ . Скобки означают статистическое усреднение, черта — усреднение по примесям. До усреднения по примесям имеем диаграммы, содержащие концевые линии  $f$  и  $F$ , задающие граничные условия для структурных и упругих дефектов [4,5]. Такие диаграммы должны быть связными [6,7]. На рис. 1 представлены примеры диаграмм для  $\eta_0(\mathbf{r})$ ,  $u_0(\mathbf{r})$  и  $\eta_0$ ,  $u_0$ .  $G_0$  и  $D_0$  — гриновские функции (ГФ) для ПП и упругой среды в линейном приближении, а  $G$  и  $D$  — полные ГФ с учетом взаимодействий. Нелинейные взаимодействия с участием различного числа фононов изображены вершинами, где сплошные линии отвечают  $\eta$ , волнистые —  $u$ . В нижнем порядке это ангармонические взаимодействия  $g\eta^2u$ ,  $C_3u^3$ ,  $\beta\eta^4$ ,  $\beta'\eta^2u^2$ ,  $C_4u^4$ ,  $g'\eta u^2$  и другие [1] (подразумевается тензорный характер всех величин).

При усреднении по дефектам [8] наряду с  $\eta_0$  и  $u_0$  возникают примесные корреляционные функции (КФ) различных порядков типа  $\overline{\eta_0(\mathbf{r}_1)\eta_0(\mathbf{r}_2)\dots u_{0i}(\mathbf{r}_n)}$  (на диаграммах обозначены «крестиком»). Количество сходящихся линий указывает порядок КФ, что дает степень константы взаимодействия с дефектом, а число крестиков на диаграмме дает степень средней концентрации дефектов  $n$ . Таким образом, некоторой специфической чертой рассматриваемой диаграммной техники в отличие от стандартной [6] является использование КФ не для потенциалов рассеяния, а для смещений, вызываемых дефектами. Меняются и правила построения диаграмм: КФ «прикрепляются» к остальной части диаграммы с помощью ГФ, т. е. входят в вершины нелинейных взаимодействий.

Если в линейном приближении  $\eta_0 = 0$  или  $u_0 = 0$  (1, 2, 4, 5, 8), дефекты неполяризованы [3-5] (хотя при учете нелинейности появляются вклады с  $\eta_0 \neq 0$  (11-12)). Наличие внутренней асимметрии дефектов делает состояния капель низкосимметричной фазы в их окрестностях

неэквивалентными (например, по направлению вектора поляризации  $P$ ). Поэтому вопрос о том, индуцируется ли  $\Phi\Pi$  при слиянии капель, требует специального рассмотрения с учетом взаимодействия между каплями. Мы ограничиваемся расчетом эффектов вне этой «критической области» [2] при условии  $nrc^{-3} \leq 1$ . Существование  $\eta_0 \neq 0$  в некритической области не означает возникновения  $\Phi\Pi$ , поскольку оно не является результатом спонтанного перехода системы в низкосимметричное состояние. По-видимому, такую ситуацию можно рассматривать как проявление стекловидного состояния; подобный вопрос для дипольных примесей обсуждался в [9].

Для структурных дефектов парная  $K\Phi$   $\xi_0(\mathbf{k}) = \overline{\eta_0(\mathbf{k})\eta_0^*(\mathbf{k})} = (4\pi)^2 n a \delta T_a (\eta_c/\eta_a)^2 G_0(\mathbf{k})^2$ ,  $G_0(\mathbf{k}) = G_0(\omega_n = 0, \mathbf{k})$  — статическая часть  $\Gamma\Phi$  мягкой моды,  $T_a$  и  $\eta_a$  — величины температуры (или энергии, постоянная Больцмана полагается единицей) и  $\Pi\Pi$  порядка атомных,  $\eta_c$  имеет смысл значения  $\eta$ , фиксируемого на дефекте [4]. Отношение  $\eta_c/\eta_a < 1$  можно считать безразмерной константой связи  $\Pi\Pi$  с дефектом. Для изотропного спектра мягких фононов  $G_0(\mathbf{k})^{-1} = \alpha(T) + \delta k^2$ , где  $\alpha(T)$  определяет температурную зависимость щели,  $\alpha(T_c) = 0$ ,  $f_0 v = 4\pi a \delta \eta_c$ ,  $T_a = \delta^2 \beta a$ ,  $\eta_a^2 = \delta \beta a^2$ ,  $f_0$  — сила дефекта,  $v$  — его объем.

Упругие дефекты, как и заряженные, могут представлять интерес, даже если они вызывают смещения в некритической подсистеме, в силу дальнедействующего характера деформаций. Если упругая  $K\Phi$   $\zeta_{ij}(\mathbf{k}) = \overline{u_{0i}(\mathbf{k})u_{0j}(\mathbf{k})^*}$  сама не имеет ТА, но имеет особенность по  $\mathbf{k}$  при  $\mathbf{k} \rightarrow 0$ , это влияет на ТА вклада за счет других аномальных  $\Gamma\Phi$ . Будем рассматривать распределение упругих смещений от дефектов в приближении сплошной среды с коэффициентами Лама  $\lambda$  и  $\mu$  [10]. Для одного дефекта имеем

$$u_i(\mathbf{k}) = D_{ij} F_j, \quad D = D^t + D^l, \quad D_{ij}^t(\mathbf{k}) = (k^2 \delta_{ij} - k_i k_j) / \mu k^4, \\ D_{ij}^l(\mathbf{k}) = k_i k_j / (\lambda + 2\mu) k^4, \quad (1)$$

где  $D$  — статическая часть упругой  $\Gamma\Phi$ , а  $D^t$  и  $D^l$  — поперечная и продольная  $\Gamma\Phi$ . Усреднение по изотропному распределению дает  $F_i F_j = (1/3) \delta_{ij} F^2$ . По порядку величины  $F$  можно связать с давлением в центре дилатации,  $F = 4\pi a^2 p_a$ . Смещения  $u$  на ядре могут быть порядка  $a$ , и  $F_a \approx T_a$ . Для парной упругой  $K\Phi$  имеем

$$\zeta(\mathbf{k}) = \zeta^t + \zeta^l, \quad \zeta_{ij}^t(\mathbf{k}) = n F^2 (k^2 \delta_{ij} - k_i k_j) / 3 \mu^2 k^6, \\ \zeta_{ij}^l(\mathbf{k}) = n F^2 k_i k_j / 3 (\lambda + 2\mu)^2 k^6. \quad (2)$$

3. Рассмотрим поправки к стрикционному коэффициенту  $g$  и вид индуцированной дефектами пьезоконстанты  $d$ , когда нет затравочной линейной связи в чистом кристалле. В этом случае в нижних порядках только структурные дефекты, взаимодействующие с  $\eta$ , дают примесную  $K\Phi$  с ТА. Поправки для  $g$  в нижних порядках по  $n$  и константам примесно-фононного взаимодействия представлены на рис. 2. Здесь

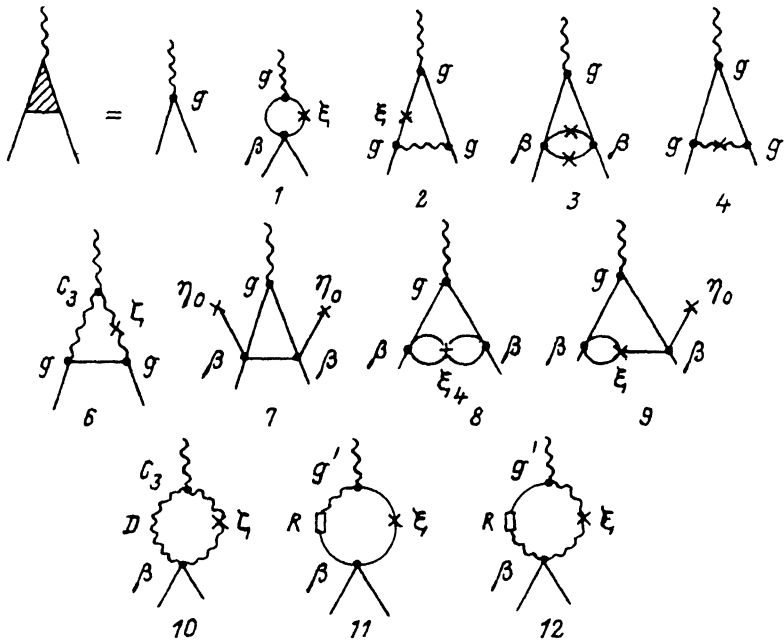


Рис. 2. Диаграммы низших порядков для стрикционного коэффициента.

основными являются диаграммы 2 и 3. Для термодинамических значений  $g$  (буквенно, без числовых множителей) имеем

$$g_2 \approx \beta g \int dk / (2\pi)^3 G(k) \xi(k) = \beta g n a \delta T_a (\eta_c / \eta_a)^2 \int dk k^2 (\alpha + \delta k^2)^{-3} =$$

$$= \beta g n a T_a (\eta_c / \eta_a)^2 \delta^{-3/2} \alpha^{-3/2} = g (n r_c^3) (\eta_c / \eta_a)^2, \quad (3)$$

$$g_3 \approx g^3 \int dk / (2\pi)^3 G(k) D'(k) \xi(k) = (g^3 / \lambda + 2\mu) n a \delta T_a (\eta_c / \eta_a)^2 \times$$

$$\times \int dk k^2 (\alpha + \delta k^2)^{-3} = (g^3 / \lambda + 2\mu) n a T_a (\eta_c / \eta_a)^2 \delta^{-1/2} \alpha^{-3/2} \approx$$

$$\approx g (\Delta \lambda / \lambda) (n r_c^3) (\eta_c / \eta_a)^2, \quad (4)$$

где пределы интегрирования от 0 до  $\infty$ ,  $r_c = (\delta / \alpha)^{1/2}$ ,  $\Delta \lambda = g^2 / \beta$  — скачок модуля упругости при ФП второго рода ( $\Delta \lambda / \lambda \sim 0.1-0.4$ ). В общем случае все величины в (3), (4) тензорные,  $D'_{ijkl} = k_i k_k D_{jl}$ . Нижние порядки описывают рассеяние флуктуаций на дефектах, в более высоких порядках возникают вклады от взаимодействия флуктуаций в присутствии дефектов, они содержат динамические ГФ [1] (однако для термодинамических величин в приближении высоких температур основной вклад от суммирования по дискретным частотам вносит  $\omega_n = 0$  [11]). Для трехосного сегнетоэлектрика (СЭ)  $G$  — матрица;  $G_{ij} = (\delta_{ij} - n_i n_j) G_0$ ,  $n_i = k_i / k$ ,  $\xi$  — также матрица, описывающая влияние дефектов как на продольную, так и на поперечную

поляризации. Здесь максимальная ТА  $g_2 \sim \tau^{-3/2}$ , тогда как флуктуационная поправка  $g_f \sim \tau^{-1/2}$ . Относительная величина поправки  $g_2/g \sim (nr_c^3)(\eta_c/\eta_a)^2$ . Если не касаться критической области, максимальное значение  $nr_c^3 \approx 1$ , и это отношение определяется только безразмерной константой примесь-фононного взаимодействия. Сравнение с флуктуационным вкладом [1] дает

$$g_2/g_f \approx na(T_a/T)(\eta_c/\eta_a)^2(\delta/\alpha) = (nr_c^3)(a/\tau_c)(T_a/T)(\eta_c/\eta_a)^2.$$

Здесь  $T_a/T$  — большой параметр,  $T_a \approx 10^5$  К,  $T \approx 10^2$  К, поэтому малость двух других параметров может быть скомпенсирована, так что примесная поправка может быть порядка и более флуктуационной.

Выше приведены оценки для возможных максимальных ТА. В силу тензорного характера выражений (3), (4) возможны и другие вклады с меньшей ТА. Так, если примесь затрагивает поперечную оптическую моду, то существует вклад с ГФ продольных оптических фононов, не являющейся аномальной. Тогда ТА определяется интегралом

$$g_2 \sim \int dk \xi(k) \sim \int dk k^2(\alpha + \delta k^2)^{-2} \sim \tau^{-1/2}.$$

Влияние электрически нейтральной системы точечных заряженных дефектов через макроскопическое поле описывается КФ  $\xi_\theta(k) = ne^2 k^2(k^2 + \kappa^2)^{-2}$  [5]. В таком случае ТА определяется интегралом

$$g_2(e) \sim \int dk \theta(k) \xi_\theta(k) \sim \int dk k^4(\alpha + \delta k^2)^{-1}(k^2 + \kappa^2)^{-2} \sim \tau^{-1/2} \quad (5)$$

при  $\tau_c < \kappa^{-1}$ , т. е. когда радиус экранирования достаточно велик.

При наличии дальнедействующих упругих дефектов ситуация может оказаться даже более благоприятной в смысле воздействия на усиление ТА, поскольку нет экранировки. Здесь существенную роль играет диаграмма 5, с учетом (2) ТА дается выражением

$$g_5 \sim g^3 F^2 n(\lambda + 2\mu)^{-2} \int dk(\alpha + \delta k^2)^{-2} \sim g^3 F^2 n(\lambda + 2\mu)^{-2} \delta^{-1/2} \alpha^{-3/2} \sim g(nr_c^3)(\Delta\lambda/\lambda) \sim \tau^{-3/2}. \quad (6)$$

Для определенности использовалась продольная акустическая КФ (для центров дилатации в линейном приближении возникает только продольная деформация [10]),  $T_a \approx \lambda a^3$  — величина упругой энергии на ячейку при деформации  $u = 1$ . Из (6) видно, что наряду со значительной ТА, сама величина относительной поправки может быть достаточно большой (десять процентов), и здесь существенно наличие неаналитичности (2) по  $k$ . Вклад диаграммы 6  $\sim \tau^{-1/2}$ , поскольку содержит только одну критическую ГФ.

Анизотропия спектра критических флуктуаций, если она не связана с линейным взаимодействием, обычно приводит к уменьшению ТА. Для одноосных СЭ  $\alpha(k) = \alpha + \delta k^2 + \sigma n_z^2$  ( $Z$  — направление спонтанной поляризации,  $\sigma = 4\pi$  в приближении сплошной среды [11],

$n_z = x = \cos \theta$ ). Тогда вместо (3), (4) имеем дополнительное интегрирование по углу

$$\int dk k^2 \int dx (\alpha + \delta k^2 + \sigma x^2)^{-3} \sim \int dx (\alpha + \sigma x^2)^{-3/2} \sim \tau^{-1},$$

это меньше, чем в изотропном случае ( $\tau^{-3/2}$ ). Вместо (6) здесь получаем

$$g'_5 \sim \int dk \int dx (\alpha + \delta k^2 + \sigma x^2)^{-2} \sim \int dx (\alpha + \sigma x^2)^{-3/2} \sim \tau^{-1}.$$

Следует отметить важное обстоятельство. В общем случае ГФ  $D$  в диаграмме  $\mathcal{Z}$  входит в комбинации  $g_{ijmr}g_{klms}k_mk_nD_{rs}$ , поэтому имеется ряд слагаемых с произведениями различных компонент  $g$ , что дает угловую зависимость за счет  $k_mk_n$ . Угловая зависимость возникает также из-за анизотропии самих ГФ (1). До тех пор пока интегрирование по углам не затрагивает одновременно и анизотропию щели  $\alpha(k)$ , оно дает просто числовой множитель, не влияя на ТА. Для (4) с учетом (1) отличным от нуля будут те члены, у которых индексы  $k$  либо все одинаковы, либо попарно равны. Для одноосного СЭ «разрешены» флуктуации с направлением  $\mathbf{k}$ , близким к плоскости  $(X, Y)$ , поэтому члены, содержащие степени  $k_z$ , будут иметь более слабую температурную зависимость. Выше была указана максимальная ТА, она имеет место, например, для комбинации  $(g_{3311})^2 \sin^4 \theta \sin^4 \varphi$ . Сказанное относится также и к примесным КФ  $\zeta_{ij}$ .

Для заряженных дефектов одноосность имеет и другой аспект, поскольку, вообще говоря, нет разделения на продольные и поперечные оптические моды, и дефекты через макрополе непосредственно взаимодействуют с  $\eta$ , а КФ имеет вид  $\xi'_\theta(\mathbf{k}) = 4\pi e^2 n k_z^2 (k^2 + \kappa^2)^{-2} \alpha(\mathbf{k})^{-2}$  [5], и ТА определяется интегралом

$$\int dk k^4 \int dx x^2 (k^2 + \kappa^2)^{-2} (\alpha + \delta k^2 + \sigma x^2)^{-3} \sim \int dx x^2 (\alpha + \sigma x^2)^{-5/2} \sim \tau^{-1},$$

это сильнее, чем для (5), где вклад  $\sim \tau^{-1/2}$ .

Более сильная ТА возникает для протяженных дефектов, когда их характерный линейный размер  $L > r_c$ , т. е. когда проявляется низшая размерность дефекта [4]. Так, для линейного структурного  $S$ -дефекта  $\xi_s = 4\pi^2 n_2 (\eta_c \delta)^2 \ln^{-2}(r_c/a) (\alpha + \delta k^2)^{-2}$ ,  $n_2$  — концентрация линейных дефектов с размерностью  $\text{см}^{-2}$ ,  $\mathbf{k}$  — двумерный вектор в плоскости, перпендикулярной оси дефекта [4]; для  $g_2$  имеем

$$g_{2s} \sim \ln^{-2}(r_c/a) \int k dk (\alpha + \delta k^2)^{-3} \sim (\tau \ln \tau)^{-2}. \quad (8)$$

Аналогично для линейного упругого дефекта  $g_5$  получаем

$$g_5 \sim \int (dk/k) (\alpha + \delta k^2)^{-2} \approx \ln(L^2/r_c^2)/2\alpha^2 \sim \ln \tau / \tau^2. \quad (9)$$

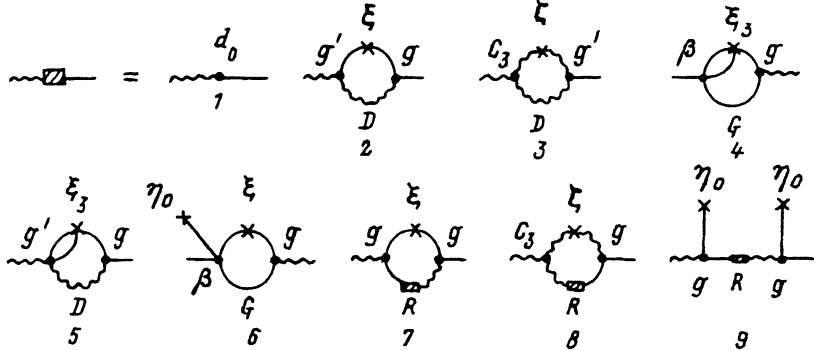


Рис. 3. Диаграммы низших порядков, вносящие вклад в коэффициент линейной связи.

На нижнем пределе интеграл логарифмически расходится, характерный импульс  $k_c = 1/\tau_c \gg 1/L$ , поэтому нижний предел полагается  $1/L$ . Для таких дефектов ТА по сравнению с (3), (5) значительно возрастают.

4. Индуцированная дефектами пьезоконстанта  $d$  определяется теми диаграммами, в которые не входит затравочная  $d_0$  (1-6 на рис. 3). Однако следует учитывать, что взаимодействие типа  $g'\eta^2$ , как правило, имеет место тогда, когда допустима по симметричным соображениям и линейная связь  $d\eta$ , поэтому 2 и 3 следует, по-видимому, относить к поправкам к  $d_c$ , так что линейная связь в высокосимметричной фазе может индуцироваться либо вкладами с тройными корреляциями (4, 5), либо когда  $\eta_0 \neq 0$  (6). В последнем случае наибольшее значение будут иметь поляризованные дефекты, для неполяризованных дефектов  $\eta_c \neq 0$  только в высших порядках по нелинейности (рис. 1). Тройные корреляции, по-видимому, могут проявляться либо при внутренней асимметрии дефекта, либо при неоднородном распределении самих дефектов. Рассмотрим типичный вид диаграммы с тройной корреляцией

$$d_4 = n(f_0 v)^3 \beta g \int dk_1 / (2\pi)^3 \int dk_2 / (2\pi)^3 (\alpha + \delta k_1)^{-1} (\alpha + \delta k_2)^{-1} \times \\ \times [\alpha + \delta(\mathbf{k}_1 + \mathbf{k}_2)^2]^{-2} = C n(f_0 v)^3 \beta g (\alpha \delta^3)^{-1} \sim n(\eta_c / \eta_a)^3 g \delta^{3/2} \alpha^{-1} \beta^{-1/2} \sim \tau^{-1}, \quad (10)$$

где  $C = \int dx \int dy \int dz (xyz^3)^{-1}$  — безразмерная константа, пределы интегрирования по  $x$  и  $y$  от 1 до  $\infty$ , а по  $z$  от  $z_-$  до  $z_+$ , где  $z_{\pm}^2 = 1 + [(x^2 - 1)^{1/2} \pm (y^2 - 1)^{1/2}]^2$ . В (10) для определения зависимости от  $\alpha$  сделана замена переменных

$$\alpha + \delta k_1^2 = \alpha x^2, \quad \alpha + \delta k_2^2 = \alpha y^2, \quad \alpha + \delta(\mathbf{k}_1 + \mathbf{k}_2)^2 = \alpha z^2. \quad (11)$$

В данном процессе участвует достаточно большое число ГФ, поэтому уменьшение фазового объема за счет анизотропии  $\alpha(\mathbf{k})$  для одноосного СЭ дает  $d_4 \sim |\ln \tau|$ . Поскольку  $d$  возникает за счет искажения дефектом симметрии парафазы, то это, фактически, не поправка (в затравочном гамильтониане такого взаимодействия нет), поэтому для

оценки численного значения  $d_4$ , по-видимому, разумно сравнить ее с константой линейной связи, возникающей при переходе в низкосимметричную фазу,  $d_s = g\eta_s = g(|\alpha|/\beta)^{1/2}$ , отношение  $d_4/d_s = (nr_c^3)(\eta_c/\eta_a)^3$  и при  $nr_c^3 \approx 1$  определяется третьей степенью безразмерной константы фонон-примесного взаимодействия. Даже если эта константа мала, само существование  $d_4$  может иметь принципиальное значение, поскольку допускает те процессы, которые иначе запрещены (например, при рассеянии света [12]). Линейные дефекты, понижая размерность интегрирования в (10), приводят к резкому увеличению ТА  $\sim \tau^{-2}$ . Диаграмма  $\beta$  может представлять интерес в случае поляризованных дефектов, для которых в линейном приближении  $\eta_c = 4\pi a d \eta_c n / \alpha = 4\pi \eta_c n a r_c^2$  (точечные дефекты), а зависимость  $\alpha^{-1}$  соответствует закону Кюри-Вейса при отклике на среднее поле,  $d_6 \sim \tau^{-5/2}$ .

Аналогично расчету (10) может быть получен вклад в нелинейную восприимчивость второго порядка от дефектов в тройной корреляционной, которая изображается диаграммой с тремя сплошными концевыми линиями. В нижнем порядке  $\beta_3 \approx n(\eta_c/\eta_a)^3 \beta^{3/2} \alpha^{-3/2}$ . Сравнение с соответствующим коэффициентом в низкосимметричной фазе,  $\beta_{3s} = \beta \eta_s = \alpha^{1/2} \beta^{1/2}$ , дает  $\beta_3/\beta_{3s} = (nr_c^3)(\eta_c/\eta_a)^3 (r_c/a)$ . Поскольку  $r_c \gg a$ , эта оценка указывает на то, что  $\beta_3$  более подвержена воздействию дефектов, чем линейная константа  $d$ .

5. Ситуация существенным образом изменяется при наличии линейной связи. Часть вкладов, которые без нее имели большую ТА, теперь становятся менее аномальными, и наоборот; аномалия может появляться у несингулярных ранее вкладов, а кроме этого возникают и новые диаграммы с заметной ТА. Действительно, перенормировка  $\Gamma\Phi$  из-за линейного взаимодействия производится точно, и мы имеем часть диаграмм рис. 2 и 3, уже рассмотренных выше, но с другими  $\Gamma\Phi$ :  $G = G_0(1 - \Delta D_0 \Delta^* G_0)^{-1}$ ,  $D = D_0(1 - \Delta G_0 \Delta^* D_0)^{-1}$  (в операторном виде),  $\Delta_{mn}(\mathbf{k}) = id_{mnl}k_l$ ,  $d$  — матрица пьезоконстант. Но при этом становятся отличными от нуля и смешанные  $\Gamma\Phi$   $R_{ij}(x) = \langle T_\tau P_i(x) u_j \rangle$ , которые можно представить как  $R = G_0 \Delta D$ . Теперь все эти  $\Gamma\Phi$  критические, их полюса дают новый энергетический спектр. Приведем явно вид  $\Gamma\Phi$  для частного случая взаимодействия с поперечной деформацией  $d\eta_{xy}$  (в общем случае обратные  $\Gamma\Phi$  приведены в [1])

$$G^{-1} = \alpha(T, \mathbf{k}) = \alpha + \delta k^2 + d n_z^2 + (d^2/4\mu) m n_x^2 n_y^2, \quad m = (\lambda + \mu)/(\lambda + 2\mu), \quad (12)$$

$$D_{xx} = D_{xx}^{(0)} + (d^2/4\mu) n_y^2 \left[ 1 - 4m n_x^2 (1 - m n_x^2) \right] / \alpha(\mathbf{k}) \mu k^2, \quad (13)$$

$$D_{xy} = -(n_x n_y) \left[ m \alpha(\mathbf{k}) + (d^2/4\mu) (\lambda/(\lambda + 2\mu) + m n_z^2) \right] / \alpha(\mathbf{k}) \mu k^2. \quad (14)$$

$D$  имеет сингулярность не только по  $\mathbf{k}$ , но и происходит «размягчение» упругих модулей. Теперь разрешены флуктуации только для направлений  $\mathbf{k}$ , близких к осям  $X$  и  $Y$ , так что становится еще более актуальным замечание, следянное выше, относительно роли анизотропии взаимодействия. Здесь важно, чтобы «лепестки направленности» для неподавленных флуктуаций не гасились за счет анизотропии взаимодействия критических и акустических степеней свободы.



Диаграммы, содержащие только ГФ для ПП, должны уменьшать свою ТА (2, 4, 7-9 на рис. 2 и 4, 6 на рис. 3). Так,  $g'_2 \sim \tau^{-1/2}$  вместо  $\tau^{-3/2}$  в (3) и вместо  $g''_2 \sim \tau^{-1}$  для одноосного СЭ. Однако это все еще больше чисто флуктуационного вклада, где в присутствии линейной связи аномалии нет [1]. С учетом сказанного об анизотропии наибольшая ТА для  $g'_5 \sim (g_{3312})^2 \tau^{-3/2}$ , но присутствует и более слабая  $g'_5 \sim (g_{3311})^2 \tau^{-1/2}$ , где гашение флуктуаций за счет анизотропии компенсируется добавлением критических ГФ. С другой стороны, диаграмма 10 ранее вообще не имела ТА, теперь  $g'_{10} \sim \tau^{-1/2}$ . Для  $d$  существенную роль играет диаграмма 7 на рис. 3. В нижнем порядке по затравочной  $d_0$  ее ТА  $d_7 \sim \tau^{-1/2}$ .

В заключение отметим, что влияние дефектов на ЭК оказывается весьма существенным, даже пьезоконстанта, на которую флуктуации в чистом образце оказывают слабое воздействие, теперь становится аномальной. Из рассмотренных типов дефектов различной природы особую опасность представляют дефекты низшей размерности: линейные и тем более плоские. При этом, чем выше по рангу константа нелинейности, тем большее число процессов взаимодействия допустимо и тем сильнее обнаруживается ТА. Стрикционная константа больше подвержена такому влиянию, чем пьезоконстанта. Подчеркнем, что здесь имеются в виду основные вклады в нижнем порядке, поскольку в высших порядках существуют и более сильные аномалии, но с малым числовым коэффициентом, что практически не представляет интереса. Следует отметить особую роль линейного взаимодействия ПП с другими степенями свободы, которая в общем случае оказывается двоякой: с одной стороны, увеличивается анизотропия термических флуктуаций, стремящаяся уменьшить ТА вклада, а с другой — в зависимости от конкретного процесса может возрасти число участвующих в них критических степеней свободы. Очень существенной оказывается при этом анизотропия взаимодействий. В результате даже в одном порядке по константам нелинейности возникает большое число вкладов, среди которых наряду с наибольшей ТА присутствуют и более слабые. Следствием роста числа критических степеней свободы является то обстоятельство, что при линейной связи наибольший вклад в ТА вносят совершенно другие процессы рассеяния, чем в ее отсутствие.

### Список литературы

- [1] Шедрина Н.В., Шедрин М.И. ФТТ 35, 11, 2891 (1993).
- [2] Брус А., Каули Р. Структурные фазовые переходы. М. (1984). 408 с.
- [3] Levanyuk A.P., Sigov A.S. Defects and Structural Phase Transitions. Gordon & Breach. N.Y. (1987). 208 с.
- [4] Шедрина Н.В., Шедрин М.И. ФТТ 34, 2, 594 (1992)
- [5] Шедрина Н.В., Шедрин М.И. ФТТ 32, 5, 1479 (1990).
- [6] Абрикосов А.А., Горьков Л.П., Дзялошинский И.Е. Методы квантовой теории поля в статистической физике. М. (1962). 443 с
- [7] Ма Ш. Современная теория критических явлений. М. (1980). 298 с.
- [8] Лифшиц И.М., Гредескул С.А., Пастур Л.А. Введение в теорию неупорядоченных систем. М. (1982). 360 с.
- [9] Вугмейстер Б.Е., Стефанович В.А. ЖЭТФ 97, 6, 1867 (1990).
- [10] Ландау Л.Д., Лифшиц Е.М. Теория упругости. М. (1965). 204 с.
- [11] Вакс В.Г. Введение в микроскопическую теорию сегнетоэлектриков. М. (1973). 327 с.
- [12] Ginzburg V.L., Levanyuk A.P., Sobyenin A.A. Phys Rep. 57, 3, 152 (1980).